



## طراحی، تولید و ارزیابی وایروزام از ویروس آنفلوانزا ساب تایپ H1N1

آزاده علیشاهی (PhD Candidate)<sup>۱\*</sup>، محسن زرگر (PhD)<sup>۱\*\*</sup>، امیر قائمی (PhD)<sup>۲\*\*</sup>، فاطمه فتوحی (PhD)<sup>۲</sup>،  
محمدرضا ذوالفقاری (PhD)<sup>۱</sup>

<sup>۱</sup> گروه میکروپزشناسی، دانشکده علوم پایه، دانشگاه آزاد اسلامی قم، قم، ایران

<sup>۲</sup> بخش آنفلوانزا و ویروس‌های تنفسی شایع، انستیتو پاستور ایران، تهران، ایران

(دریافت مقاله: ۹۸/۱۲/۲۰ - پذیرش مقاله: ۹۹/۴/۱۷)

### چکیده

زمینه: در دو دهه گذشته، اولین نسل از وایروزام‌های آنفلوانزا گسترش پیدا کرد. وایروزام‌های آنفلوانزا به دلیل کاربرد آن‌ها در زمینه‌های مختلف پزشکی به عنوان ابزاری نوین در برنامه‌های ساخت واکسن و ایمونوتراپی به حساب می‌آیند. هدف از مطالعه حاضر، ساخت وایروزام کاتیونیک مشتق شده از ویروس آنفلوانزا با استفاده از دترجنت با قابلیت دیالیز (DCPC) و لیپید کاتیونیک (DOTAP) در شرایط آزمایشگاهی می‌باشد. مواد و روش‌ها: ویروس آنفلوانزا سویه A/Puerto Rico/8/34 (H1N1) در رده سلولی اپیتلیال کلیه سگ سانان تکثیر داده شد. پوشش ویروس آنفلوانزا با استفاده از DCPC به عنوان یک دترجنت حل گردید و با استفاده از دیالیز، این دترجنت حذف شده و با افزودن لیپید کاتیونیک DOTAP، وایروزام کاتیونیک سنتز شد. میزان سمیت سلولی وایروزام سنتز شده با روش MTT مورد ارزیابی قرار گرفت و حضور پروتئین‌های هم‌گلویتین و نورآمینیداز با استفاده از SDS-PAGE مورد بررسی قرار گرفت. مورفولوژی وایروزام ساخته شده از طریق میکروسکوپ عبوری بررسی شد.

یافته‌ها: غلظت نهایی وایروزام ساخته شده، ۱/۵ میلی‌گرم در میلی‌لیتر بود. با استفاده از SDS-PAGE، حضور پروتئین‌های هم‌گلویتین و نورآمینیداز تأیید شد. همچنین در مقایسه با گروه کنترل، سائیتوتوکسیسیته پس از ۴۸ ساعت از تیمار با غلظت‌های مختلف وایروزام کاهش معنی‌داری داشت ( $p < 0.05$ ).

نتیجه‌گیری: استفاده از دترجنت DCPC و همچنین لیپید کاتیونیک DOTAP یک روش مؤثر در بازآرایی پوشش ویروس آنفلوانزا بدون ایجاد تغییرات در گلیکوپروتئین‌های سطحی ویروس می‌باشد. روش به کار رفته در تحقیق حاضر برای تولید وایروزام، پتانسیل مناسبی در برنامه‌های طراحی واکسن آنفلوانزا در آینده خواهد داشت.

واژگان کلیدی: وایروزام، ویروس آنفلوانزا، DCPC، لیپید کاتیونیک، کشت سلول

<sup>\*\*</sup> قم، دانشکده علوم پایه، گروه میکروپزشناسی، دانشگاه آزاد اسلامی قم

<sup>\*\*</sup> تهران، بخش ویروس‌شناسی، انستیتو پاستور ایران

## مقدمه

آنفلوانزا به عنوان یکی از عوامل اصلی مرگ و میر در جهان به ویژه در گروه های حساس شامل بیماران قلبی، ریوی، کلیوی، دیابتی، زنان باردار، سالمندان و نوزادان به حساب می آید (۱). هر ساله واریانت های جدیدی از سویه های ویروسی آنفلوانزا به علت وقوع میزان بالایی از جهش در ریونوکلیک اسید ویروسی ظاهر می شوند. تغییرات آنتی ژنیک به عنوان یکی از قوی ترین محرک های تکامل ویروسی محسوب می گردد، این امر مبتنی بر پروسه تکثیر مستعد به خطا می باشد. تا اواخر سال ۲۰۱۷ تخمین زده شده است که سالانه آنفلوانزای فصلی با ۲۵۰/۰۰۰ تا ۵۰۰/۰۰۰ مرگ همراه بوده است (۲).

واکسیناسیون به عنوان مقرون به صرفه ترین و مؤثرترین روش در برابر عفونت های ویروس آنفلوانزا محسوب می گردد. امروزه طراحی واکسن بر علیه ویروس آنفلوانزا عمدتاً مبتنی بر واکسن های غیر فعال بوده، این واکسن ها شامل ویروس کامل غیر فعال (WIVs)، یک بخش از ویرون، وایروم های واجد آنتی ژن های سطحی ویروس و یا ساب یونیت های آنتی ژنیک (پروتئین های همگلوتنینین (HA) و نورآمینیداز (NA)) می باشند (۳-۶). با توجه به ارزیابی سالیانه واکسن های تجاری آنفلوانزا و همچنین کارایی پایین این دسته از واکسن ها در افراد مسن (تقریباً ۶۰ درصد)، نیاز به توسعه واکسن های نسل نو از اهمیت بالایی برای مقابله با ویروس آنفلوانزا برخوردار است (۷).

در بین استراتژی های موجود، روش های مبتنی بر وایروم نوید توسعه واکسن های کارآمدی را در آینده داده است. فرمولاسیون وایروم ها از سال ۱۹۹۷ به طور عمده در کشورهای عضو اتحادیه اروپا مورد استفاده قرار گرفته است. وایروم ها، وزیکول هایی متشکل از پوشش های بازسازی شده ویروسی (به ویژه ویروس

آنفلوانزا) شامل لیپیدهای غشایی و گلیکوپروتئین های سطحی ویروس می باشند. سطح خارجی این دسته از وزیکول ها مشابه با ذرات ویروسی بوده حال آنکه بخش داخلی وایروم ها خالی و فاقد ماده ژنتیکی است (۸) و (۹). بر این اساس، وایروم ها به عنوان ذرات شبه ویروسی متشکل از پروتئین های ویروسی توصیف می گردند. با این تفاسیر وایروم ها قادر به تکثیر نبوده و در طی مراحل تولید، ساختار تکراری را که یادآوری ویروس اصلی است، حفظ می نمایند (۱۰). شواهد جدید نشان داده است که وایروم ها به عنوان سیستم های حامل و ادجوانت عمل می نمایند. عملکرد ادجوانتی این دسته از واکسن ها در مقایسه با واکسن های دو جزئی و یا ساب یونیت واکسن ها (واکسن های حاوی اجزاء ویروسی) منجر به القاء آنتی بادی های خنثی کننده بر علیه گلیکوپروتئین های سطحی ویروس می شوند. بررسی ها نشان داده اند که گلیکوپروتئین های سطحی وایروم ها بوسیله اجزای سیستم ایمنی از قبیل لنفوسیت های B به راحتی شناخته شده و بدین ترتیب در تحریک و بروز پاسخ های ایمنی همورال مؤثر می باشند. از طرفی به علت حضور آنتی ژن ها در سطح با داخل وایروم ها، این دسته از وزیکول ها توانایی القاء پاسخ های ایمنی سلولار را نیز دارا می باشند. از این رو، وایروم ها کاندیدهایی مناسب در زمینه تولید واکسن محسوب می گردند (۸ و ۱۱).

یکی از واکسن هایی که امروزه مورد استفاده قرار گرفته اینفلوکسال می باشد. اینفلوکسال واکسن سه گانه مبتنی بر وایروم است که بسیار ایمنوزنیک بوده و برای تمامی گروه های سنی مجاز است. این واکسن تزریقی سه ظرفیتی که ترکیبی از سه وایروم مشتق شده از دو ساب تایپ A (H1N1) و H3N2) و ساب تایپ B می باشد، از سال ۱۹۹۷ در

سوئیس مجوز گرفته و در حال حاضر در چندین کشور مورد استفاده قرار می‌گیرد (۱۶-۱۲). سویه‌های آنفلوآنزای انتخاب شده به توصیه‌های سالانه سازمان بهداشت جهانی بستگی دارد. شواهد جدید دلالت بر تحمل مناسب این واکسن در کودکان داشته است. پروسه تهیه واکسن اینفلوکسال در برگیرنده تخلیص و غیر فعال‌سازی ویروس آنفلوآنزا و فرمولاسیون گلیکوپروتئینی زیر واحدهای آنفلوآنزا می‌باشد. در این راستا، بهینه‌سازی دقیق شرایط فرمولاسیون به‌عنوان یکی از نکات کلیدی که به‌طور مستقیم در روند کاربرد مؤثر بالینی اینفلوکسال تأثیرگذار است، مطرح می‌باشد (۱۵ و ۱۶).

با توجه به اهمیتی که وایروم در توسعه واکسن دارد، هدف از این مطالعه ساخت وایروم آنفلوآنزا به‌عنوان کاندیدی مؤثر در برنامه‌های طراحی واکسن می‌باشد. بدین منظور از روش‌های تولید و تأیید وایروم‌های کاتیونیک مشتق شده از سویه A/Puerto Rico/8/34 (H1N1) استفاده شد.

## مواد و روش‌ها

### کشت سلول

سلول‌های رده سلولی اپیتلیوم کلیه سگ‌سانان (Madin Darby Canine Kidney cell line, MDCK) که از بانک سلولی انستیتو پاستور ایران تهیه شده بود در محیط DMEM (Dulbecco's Modified Eagle's Medium) حاوی ۱۰ درصد سرم جنین گاوی به همراه آنتی‌بیوتیک پنی‌سیلین/استرپتومایسین (از شرکت Germany, Gibco) در فلاسک‌های ۱۷۵ سانتی‌متر مربع فیلتردار

**ویروس**  
ویروس آنفلوآنزای سویه A/Puerto Rico/8/34 (H1N1) از بخش آنفلوآنزای انستیتو پاستور با تیتراژ اولیه  $10^6$  در هر میلی‌لیتر تهیه شد.

### تعیین ضریب آلودگی (MOI) Multiplicity (Of Infection)

برای به‌دست آوردن یک تیتراژ مناسب از ویروس، MOI تعیین شد (۱۷). بدین‌منظور، سلول MDCK با ویروس A/Puerto Rico/8/34 H1N1 با MOIهای ۱ تا ۲۰ تلقیح گردید و سرعت تخریب سلول‌ها با یکدیگر مقایسه شد. در این راستا، ۱۰۰ میکرولیتر محیط حاوی سلول MDCK به همراه محیط کشت کامل (آنتی‌بیوتیک و سرم) به هر چاهک پلیت ۹۶ خانه ته صاف (SPL Life Science Co., Ltd, Korea) افزوده شد و پس از ۲۴ ساعت انکوباسیون، تلقیح ویروس با تیتراژ اولیه  $10^6$  در هر میلی‌لیتر در ضریب آلودگی ۱ تا ۲۰ صورت گرفت. برای هر ضریب آلودگی، ۳ چاهک با شرایط یکسان در نظر گرفته شد.

### کشت و جمع‌آوری ویروس

ویروس آنفلوآنزا با ضریب آلودگی بهینه (MOI=6) در کشت تک لایه سلول MDCK تلقیح داده شد و انکوباسیون به مدت ۴۸ ساعت در انکوباتور  $37^{\circ}\text{C}$  و ۵ درصد  $\text{CO}_2$  صورت گرفت. پس از اتمام مدت زمان انکوباسیون و مشاهده علائم سایتوپاتیک، جمع‌آوری ویروس به‌واسطه سانتریفیوژ (۱۵ دقیقه،

۴ درجه سانتی گراد، ۳۰۰۰ دور بر دقیقه) از محتویات فلاسک‌ها انجام شد.

### ساخت وایروزوم

### تغلیظ ویروس با استفاده از اولترافیلتراسیون و اولتراسانتریفیوژ

به منظور تغلیظ ویروس تا ۱۰ برابر از اولترافیلتراسیون (Tangential Flow Filtration, TFF) (شرکت Millipore آمریکا) استفاده شد. در این سیستم، پس از مجاور شدن سوسپانسیون ویروسی با فیلتر ۱۰۰ کیلودالتون، ویروس (به دلیل اندازه بزرگ‌تر  $5 \times 10^3$  KD) از آن عبور نکرده و طی باز چرخش، تغلیظ و جداسازی ویروس از سایر ذرات نامحلول موجود در محیط صورت گرفت (۱۸ و ۱۹). در ادامه ویروس تغلیظ شده از مرحله اولترافیلتراسیون با ایجاد گرادیانت سوکروز ۱۰ درصد و ۶۰ درصد به مدت ۲ ساعت در دور ۱۰۰/۰۰۰ g و دمای ۴ درجه سانتی گراد اولتراسانتریفیوژ گردید. پس از اتمام مدت زمان اولتراسانتریفیوژ، ویروس تغلیظ شده در بین لایه‌های سوکروز ۱۰ درصد و ۶۰ درصد مشاهده و جداسازی گردید.

### حذف سوکروز با استفاده از کاست دیالیز

ویروس تغلیظ شده حاوی مقدار کمی سوکروز می‌باشد. به منظور حذف سوکروز از کاست دیالیز (Thermo Scientific, USA) (Cut off= 10Kd) استفاده گردید. برای این امر، نمونه ویروسی را وارد کاست دیالیز کرده و به مدت یک شبانه روز در یک لیتر بافر HBS (Hank's buffer solution) در دمای ۴°C بر روی همزن انکوبه شد. پس از اتمام مدت زمان دیالیز، ویروس با استفاده از یک سرنگ استریل از داخل کاست دیالیز خارج گردید.

### تخریب پوشش ویروس با استفاده از دترجنت DCPC

به منظور تخریب ساختار ویروس از دترجنت DCPC (Avanti Polar Lipids, INC, USA) استفاده شد. برای این منظور، دترجنت DCPC به ویروس تخلیص شده آنفلوانزا افزوده شد و انکوباسیون به مدت ۳۰ دقیقه بر روی یخ صورت گرفت. پس از اتمام مدت زمان انکوباسیون، اولتراسانتریفیوژ به مدت ۳۰ دقیقه در دور ۱۰۰/۰۰۰ g و دمای ۴°C صورت گرفت. در این مرحله پوشش ویروسی در لوله سانتریفیوژ (Beckman Instruments, USA) تخریب شده و سوپرناتانت که حاوی فسفولیپید و گلیکوپروتئین‌های ویروسی می‌باشد جهت استفاده در مراحل بعدی در دمای ۴°C نگهداری شد (۲۰).

### افزودن لیپید کاتیونیک (DOTAP)

لیپید کاتیونیک مورد استفاده در این پژوهش DOTAP (Dioleoyl-3-trimethylammonium propane) ساخت شرکت Avanti Polar Lipids آمریکا بود. مقدار ۸۰۸ نانومول فسفات از DOTAP به سوپرناتانت حاوی فسفولیپید و گلیکوپروتئین (به جهت ساخت وایروزوم ۳۵٪ لیپید کاتیونیک) اضافه گردید. برای جلوگیری از اکسید شدن DOTAP، این محلول به واسطه جریان گاز نیتروژن خشک شده و سپس به مدت ۲ ساعت در دسیکاتور متصل به پمپ خلاء در شرایط خلاء نگهداری شد. متعاقباً سوپرناتانت حاوی فسفولیپید و گلیکوپروتئین‌های ویروسی به DOTAP خشک شده در ته لوله اضافه و به مدت ۳۰ دقیقه در دمای اتاق به آرامی تکان داده شد.

### بازسازی پوشش ویروس با حذف دترجنت

به منظور حذف دترجنت DCPC از محیط حاوی پوشش ویروسی (به جهت شکل گیری مجدد پوشش)،

میکرولیتر سدیم دئوکسی کولات اضافه شد. پس از مدت زمان ۱۰ دقیقه، ۵۰ میکرولیتر محلول *Trichloroacetic acid* (TCA) را به هر میکروتیوب اضافه کرده و به مدت ۱۵ دقیقه در ۱۰۰۰۰ rpm سانتریفیوژ انجام شد. رسوب به دست آمده را در ۱ میلی لیتر معرف لوری حل کرده و ۱۰ دقیقه در دمای اتاق انکوبه شد. متعاقباً ۱۰۰ میکرولیتر فولین رقیق شده به هر میکروتیوب اضافه شد و پس از ورتکس، ۳۰ دقیقه در تاریکی انکوبه گردید. جذب نوری پس از اتمام مدت زمان انکوباسیون در طول موج ۷۵۰ نانومتر در دستگاه الیزا ریدر اندازه گیری شد (۲۲ و ۲۳). قابل ذکر است که این تست در دو مرحله (اولین مرحله برای ویروس آنفلوانزای تغلیظ شده پس از اولتراسانتریفیوژ و در نهایت وایروم کاتیونیک تشکیل شده در مرحله آخر) انجام گردید.

#### ارزیابی میزان توکسیسیته وایروم کاتیونیک آنفلوانزا

از روش MTT Cell viability Assay جهت بررسی میزان توکسیسیته وایروم های ساخته شده استفاده شد. برای این منظور، رده سلولی بافت جنینی کلیه انسان (Human embryonic kidney, HEK) به صورت تک لایه در پلیت های ۲۴ خانه کشت داده شد. متعاقباً با ۲۰ میکروگرم وایروم کاتیونیک (در حجم ۱۰۰ میکرولیتر محیط DMEM) مجاور گردید و به مدت ۴۸ ساعت در انکوباتور حاوی ۵ درصد CO<sub>2</sub> انکوبه شد. در نهایت برای بررسی خاصیت توکسیسیته با افزودن رنگ MTT (۳-۴ و ۵-دی متیل تiazول-۲-ایل)-۲ و ۵-دی فیل تترازولیوم برومید) میزان سایتوتوکسیسیته تعیین گردید. از سلول های HEK بدون افزودن وایروم کاتیونیک نیز به عنوان کنترل استفاده شد (۲۴).

سوپرناتانت حاوی لیپید کاتیونیک دیالیز شد. برای این امر، سوپرناتانت حاوی DOTAP را در کاست دیالیز وارد کرده و کاست به مدت ۲ شبانه روز در ۲ لیتر بافر HBS 1X بر روی یک همزن درون یخچال انکوبه گردید. در نهایت پس از اتمام مدت زمان دیالیز، وایروم های کاتیونیک ویروس آنفلوانزا درون کاست دیالیز مشاهده شد.

#### آزمون تأییدی ساختار وایروم

##### آزمون همگلوتیناسیون

##### (Hemagglutination assay, HA)

یکی از تست ها جهت تأیید تشکیل ساختار وایروم، آزمون همگلوتیناسیون می باشد (۲۱). با توجه به این نکته که تنها در صورت تشکیل وایروم های واجد مولکول های HA، آگلوتیناسیون گلبول های قرمز صورت می گیرد، خون مرغ با رقت نیم درصد به منظور انجام تست همگلوتیناسیون و تأیید ساخت وایروم استفاده شد. برای این امر، پس از تهیه رقت های سریالی از ویروس شاهد و وایروم در پلیت ۹۶ خانه ای U شکل کشت سلول، ۵۰ میکرولیتر سوسپانسیون گلبول های قرمز با رقت نیم درصد به تمامی چاهک ها اضافه شد و پس از یک ساعت انکوباسیون الگوی همگلوتیناسیون مورد ارزیابی قرار گرفت.

#### سنجش پروتئین تام در ویروس خالص شده (تست

##### (Lowry)

برای سنجش کل پروتئین ویروس از تست لوری استفاده گردید (۲۲). در این روش از نمونه استاندارد شامل رقت های سریالی Bovine Serum Albumin, BSA (برای هر رقت، دو تکرار) استفاده شد. بدین منظور، در مرحله اول به تمامی رقت های استاندارد و نمونه، ۵۰

تصویربرداری با استفاده از میکروسکوپ الکترونی عبوری صورت گرفت.

### تجربه و تحلیل آماری

با استفاده از نرم افزار SPSS ویرایش ۲۱ آنالیز آماری داده ها انجام شده و نتایج به صورت درصد و انحراف معیار گزارش گردید. به منظور تجزیه و تحلیل آماری داده ها از تست ONE WAY ANOVA استفاده شد.  $p < 0.05$  به عنوان سطح معنی داری از نتایج در نظر گرفته شد. این طرح در کمیته اخلاق دانشگاه آزاد قم با کد IR.IAU.QOM.REC. ۱۳۹۷.۰۲۴ به ثبت رسیده است.

### یافته ها

#### تعیین ضریب آلودگی بهینه

ارزیابی ضریب های آلودگی ۱ تا ۲۰ پس از ۴۸ ساعت انکوباسیون نشان داد که تعیین ضریب آلودگی بهینه وابسته به زمان بوده و در زمان های مختلف، علائم سایتوپاتی (CPE، Cytopathogenic effect) در چاهک های مختلف تغییر می نماید. به عنوان مثال در زمان کم تر از ۲۰ ساعت، ضریب آلودگی ۲۰ با به عنوان ضریب آلودگی بهینه در نظر گرفته می شود. جهت تکمیل سیکل ویروس و کاهش میزان تولید ذرات شبه ویروسی، ضریب آلودگی ۶ با دوره انکوباسیون ۴۸ ساعته انتخاب شد. نمایی از یاخته های سالم رده سلولی MDCK در مقابل یاخته های آلوده در شکل ۱ نشان داده شده است.

#### بررسی حضور پروتئین های HA و NA با روش

#### SDS-PAGE

جهت بررسی تغییرات احتمالی حضور گلیکوپروتئین های سطحی که در فرایند تولید وایروزم ممکن است ایجاد شود از روش

#### Sodium Dodecyl Sulfate Poly Acrylamide Gel Electrophoresis (SDS-PAGE)

SDS-PAGE تکنیکی برای جداسازی پروتئین ها بر اساس توانایی حرکتشان در یک جریان الکتریکی بر مبنای وزن مولکولی شان می باشد. در این تکنیک، سیستم Laemli جهت جداسازی پروتئین ها مورد استفاده قرار می گیرد. این سیستم شامل ژل جدا کننده ۱۲ تا ۱۵ درصد و ژل متراکم کننده ۵ درصد می باشد. در این روش از دترجنت آنیونی سدیم دو دسیل سولفات به جهت دنا توره کردن و توزیع یکنواختی از بار منفی بر روی پروتئین ها استفاده می شود (۲۵). برای این امر پس از افزودن بافر نمونه به نسبت ۱ به ۴ به نمونه ها و اسپین نمودن آن ها، نمونه ها به مدت ۱۰ دقیقه در آب جوش قرار گرفتند. متعاقباً پس از ران نمودن مارکر پروتئینی در چاهک اول، نمونه های آنفلوانزا A/Puerto (H1N1) و A/Rico/8/34 و وایروزم آنفلوانزا در چاهک های دوم و سوم، جریان الکتریکی از طریق اتصال الکترودهای مثبت و منفی تانک به دستگاه تأمین جریان برقرار شد. در نهایت رنگ آمیزی ژل با کوماسی بلو انجام گرفت و پس از رنگ بری، بررسی باندها صورت گرفت.

#### تصویربرداری از وایروزم با استفاده از میکروسکوپ

#### الکترونی عبوری

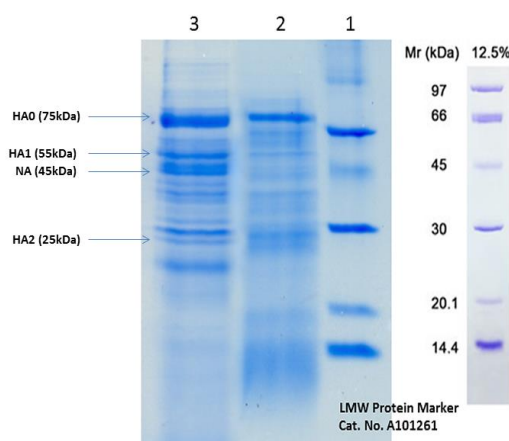
#### (Transmission Electron Microscope (TEM)

به منظور ارزیابی کیفیت و مورفولوژی وایروزم ساخته شده در قیاس با ویروس آنفلوانزا و اینکه وایروزم تولید شده برای بسته بندی آنتی ژن ها کارآمدی لازم را دارد یا نه از میکروسکوپ الکترونی استفاده شد. برای تصویربرداری با میکروسکوپ الکترونی نمونه ها به بخش میکروسکوپ الکترونی واقع در دانشگاه علوم پزشکی ایران فرستاده شد و پس از رنگ آمیزی با اورانیل استات ۲ درصد،

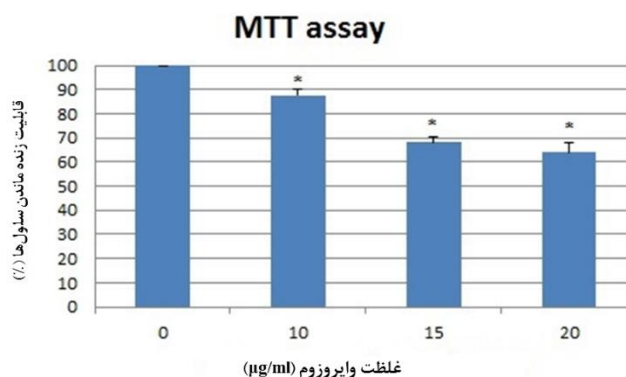
### بررسی تأثیر وایروسوم آنفلوانزا بر حیات سلولی به روش MTT assay

به منظور ارزیابی میزان توکسیسیته وایروسوم ساخته شده در غلظت‌های مختلف بر رده سلولی MDCK، تست MTT گذاشته شد. سمیت وایروسوم کاتیونیک، با افزایش غلظت با تغییرات سایتوپاتیک همراه بود. نتایج در نمودار ۱ نشان داده شده است. از طرفی نمایی از یاخته‌های سالم رده سلولی MDCK در مقابل یاخته‌های آلوده در شکل ۱ نشان داده شده است.

SDS-PAGE استفاده می‌شود. همان‌طور که در شکل مشخص است میزان گلیکوپروتئین‌های سطحی، کارآمد بودن پروسه را نشان می‌دهد و از طرفی عدم وجود پروتئین‌های درونی نشان دهنده قابلیت وایروسوم به منظور در برگرفتن آنتی ژن‌ها و مواد مختلف است. در شکل ۲ محتویات پروتئینی ویروس سالم آنفلوانزا و وایروسوم آنفلوانزا ساخته شده نشان داده شده است.

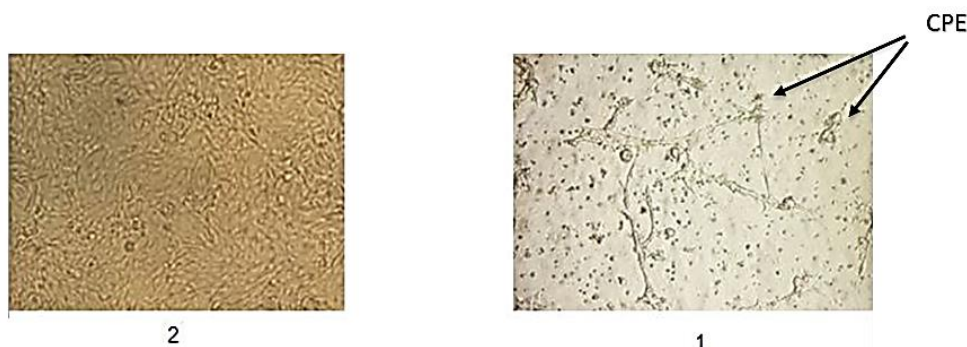


شکل ۱) ارزیابی پروتئین‌های وایروسوم با استفاده از تست SDS-PAGE.  
لاین ۱: مارکر پروتئینی، لین ۲: پروتئین‌های وایروسوم، لین ۳: پروتئین‌های ویروس آنفلوانزا



نمودار ۱) سمیت وایروسوم کاتیونیک آنفلوانزا در سلول‌های MDCK در مدت زمان ۴۸ ساعت در مقایسه با گروه کنترل. سمیت سلولی با آزمون MTT سنجیده شد. هر ستون بیانگر میانگین و انحراف معیار در نمونه‌ها می‌باشد ( $p < 0.05$  در مقایسه با کنترل).

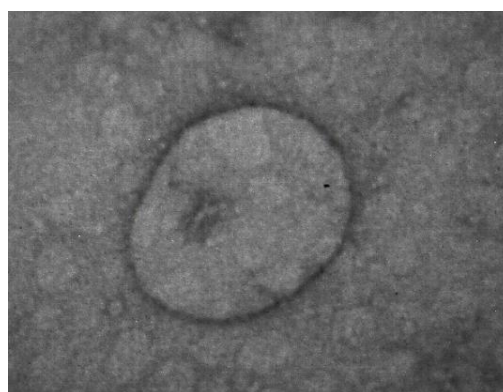
Fig 1) Toxicity of influenza cationic virosomes in MDCK cells over 48 h, compared with control group. Cytotoxicity was assessed by MTT assay. Each column represents the mean and standard deviation in the samples ( $P < 0.05$ ).



2

1

شکل ۲) اثرات سایتوپاتیک ناشی از آلودگی رده سلولی MDCK با ویروس آنفلوانزا.  
(۱) اثرات سایتوپاتیک سلول‌های آلوده به ویروس، (۲) سلول‌های سالم MDCK.



شکل ۳) میکروسکوپ الکترونی عبوری (TEM). این شکل بیانگر مورفولوژی وایروزم کاتیونیک ساخته شده با مقیاس ۱۰۰ نانومتر می‌باشد.

### تعیین غلظت پروتئین تام وایروزم

نتایج تست لوری بعد از اولترا سانتریفیوژ و در مقایسه با رقت‌های استاندارد BSA در هر میلی‌لیتر از ویروس سالم، نشان داد که ویروس تغلیظ شده آنفلوانزا دارای غلظت پروتئینی در حدود ۱ میلی‌گرم در میلی‌لیتر بود. همچنین غلظت نهایی وایروزم آنفلوانزا ساخته شده ۰/۲ میلی‌گرم در هر میلی‌لیتر را تخمین زده شد.

بمنظور بسته بندی آنتی‌ژن‌ها مناسب می‌سازد. در حقیقت، فقدان ماده ژنتیکی در ساختار وایروزم و همچنین حجم محتوای پروتئینی کم‌تر نسبت به ویروس، وایروزم را به‌عنوان کاندیدی مناسب جهت بسته‌بندی آنتی‌ژن‌ها مطرح می‌سازد.

### بحث

واکسن‌های فعلی آنفلوانزا که غالباً سطح بالایی از ایمنی اختصاصی گونه را القاء می‌نمایند، قادر به مقابله با پاندمی‌های ویروس آنفلوانزا نمی‌باشند. بنابراین توسعه تکنیک‌های جدید در این زمینه بیش از پیش احساس

### میکروسکوپ الکترونی عبوری (TEM)

همانطور که در شکل ۳ نشان داده شده است تراکم کمتر وایروزم در قیاس با ویروس آنفلوانزا، این ساختار را



می‌گردد (۲۳ و ۲۴). در این راستا، وایروزم‌ها به دلیل قابلیت تحریک سیستم ایمنی و نقش ادجوانتی، به عنوان ابزاری کارآمد برای توسعه واکسن‌های نسل جدید آنفلوانزا قلمداد می‌شوند. کارآمدی این روش با تجاری سازی وایروزم‌هایی موسوم به اینفلوکسال مورد تأیید قرار گرفته است (۸ و ۱۲). قابل ذکر است که خواص منحصر به فرد وایروزم‌ها با حضور پروتئین هم‌گلوتینین و ویروس آنفلوانزا در سطح وایروزم مرتبط می‌باشد؛ چرا که این پروتئین ویروسی نه تنها منجر به استحکام ساختاری و هم‌ژنیسته وایروزم‌ها می‌شود بلکه به میزان قابل توجهی در فرار اندوزومی و همچنین خواص ایمونولوژیکی وایروزم‌ها نیز نقش دارد. این امر منجر به تمایز عمده وایروزم‌ها نسبت به سایر سیستم‌های لیپوزومی شده است (۱۰ و ۱۲).

بطور کلی لیپوزوم‌ها به واسطه محصور کردن داروها به عنوان سیستم رهایش دارو برای سرطان و دیگر بیماری‌ها مطرح می‌باشند (۲۵). از جمله معایب لیپوزوم‌ها می‌توان به (۱) پاکسازی سریع آن‌ها از خون، (۲) هزینه بالای تولید، (۳) طول عمر کوتاه، (۴) حلالیت کم و (۵) عملکرد غیر اختصاصی اشاره نمود. از طرفی فسفولیپیدهای تشکیل دهنده لیپوزوم‌ها می‌توانند تحت فرآیندهای اکسیداسیون و یا واکنش‌های هیدرولیزی قرار گیرند، از این رو بیان می‌شود که لیپوزوم‌های متداول ممکن است از لحاظ شیمیایی ناپایدار شوند (۲۶).

در زمینه سیستم تحویل آنتی‌ژن، وایروزم‌ها دارای خصوصیات مشابه با لیپوزوم‌ها هستند. این خصوصیات عبارتند از: (۱) سیستم‌های وایروزمی می‌توانند جهت تحویل تقریباً تمام انواع مولکول‌های آلی، پروتئین‌ها، پپتیدها، اسیدهای نوکلئیک و داروهای ضدسرطانی به‌کار روند (۱۱)؛ (۲) غشاء لیپیدی وایروزم‌ها به واسطه

ایجاد یک سد در اطراف آنتی‌ژن منجر به محافظت آن از محیط و بطبع ایجاد مقاومت در برابر تجزیه آنزیمی می‌شود. در این حالت آنتی‌ژن‌هایی که در داخل وایروزم‌ها قرار می‌گیرند، بدون تجزیه سریع و با کمترین عوارض جانبی بداخل سلول‌های زنده انتقال می‌یابند (۸ و ۱۰).

(۳) به علت حضور فسفولیپیدها در ساختار لیپیدی وایروزم‌ها، این دسته از وزیکول‌ها دارای سمیت ذاتی پایین، انعطاف‌پذیری، زیست سازگار و تجزیه‌پذیری مناسبی می‌باشند (۲۷ و ۲۸). قابل ذکر است که برخلاف لیپوزوم‌ها، وایروزم‌ها ذرات شبه ویروسی بوده که بدلیل فقدان ماده ژنتیکی خاصیت تکثیر و انتقال بیماری را ندارند؛ ولیکن حضور گلیکوپروتئین‌های سطحی ویروس در بحث هدف قرار دادن و عملکرد اختصاصی حائز اهمیت می‌باشد. این امر وایروزم‌ها را به عنوان کاندیدهایی امیدوارکننده در زمینه سیستم تحویل آنتی‌ژن مبدل ساخته است (۱۱). در سال ۱۹۸۹، پاترنوستر (Paternostre) و همکاران، از Triton X-100 به عنوان دترجنت برای حل کردن غشای ویروس وزیکولار استوماتیتیس (VSV) استفاده کرده و گزارش نمودند که قرارگرفتن طولانی مدت پروتئین G این ویروس در معرض این نوع دترجنت می‌تواند منجر به غیرفعال شدن بخشی از آن شود. از طرفی این دترجنت به راحتی حذف نمی‌گردد (۲۹). در مطالعه‌ای دیگر از اکتیل گلوکوزید (OG) به عنوان دترجنت استفاده شد. نتایج این تحقیق حاکی از آن بود که وایروزم ساخته شده از آرایش مناسب لیگاندهای آنفلوانزا برخوردار نمی‌باشد (۲۶). در حالی که در این مطالعه از DCPC به عنوان دترجنت استفاده شد که با توجه به سهولت حذف با روش دیالیز و همچنین بازاریابی مناسبی از گلیکوپروتئین‌های سطحی ویروس

آنفلوانزا واجد گلیکوپروتئین‌های سطحی HA و NA بوده و به واسطه سمیت محدود و پروتئین‌های درونی کمتر، پتانسیل نوید بخشی به منظور بکارگیری برای توسعه واکسن‌های کارآمد آنفلوانزا در آینده را دارا می‌باشد.

این مقاله حاصل پایان‌نامه دکتری آزاده علیشاهی در گروه میکروب شناسی، دانشکده علوم پایه، دانشگاه آزاد اسلامی واحد قم می‌باشد و تحت حمایت مالی سازمان یا مؤسسه‌ای نمی‌باشد.

### سپاس و قدردانی

بدین‌وسیله از تمامی اساتید شرکت کننده در این پژوهش سپاسگزاری می‌گردد. تمامی نویسندگان معیارهای استاندارد نویسندگی بر اساس پیشنهادات کمیته بین‌المللی ناشران مجله پزشکی را دارا بودند.

### تضاد منافع

هیچ‌گونه تعارض منافع توسط نویسندگان بیان نشده است.

آنفلوانزا، احتمال بهره‌برداری از نانوپارتیکل‌های ساخته شده به‌عنوان حامل آنتی‌ژن‌ها را ارتقا می‌بخشد. در مطالعه‌ای که یحیی محمدزاده و همکاران، انجام دادند، وایروزوم کاتیونیک مشتق شده از ویروس وزیکولار استوماتیتیس با استفاده از دترجنت DCPC و لیپید کاتیونیک DOTAP به عنوان ابزاری جهت ژن درمانی بر روی رده سلولی SF9 ساخته شد. نتایج حاکی از توانایی انتقال مؤثر ژن گزارشگر فلورسانتی توسط وایروزوم کاتیونیک VSV به سلول‌های هدف بود (۳۰). در مطالعه حاضر نیز به منظور ساخت وایروزوم کاتیونیک، از دترجنت DCPC با قابلیت دیالیز به‌عنوان دترجنت کوتاه زنجیر استفاده گردید؛ چراکه این ماده نسبت به سایر دترجنت‌ها بی‌خطر بوده و با دیالیز به راحتی حذف می‌گردد (۲۶).

### نتیجه‌گیری

آرایش مناسب گلیکوپروتئین‌های سطحی با توجه به نتایج SDS-PAGE ارائه شده در شکل ۲ تأکیدی بر این مطلب است که ساختارهای تشکیل شده از ایمونژنسیته مناسبی برای تحریک ایمنی نیز برخوردار می‌باشند. از طرفی نتایج حاصل از این پژوهش نشان داد که وایروزوم کاتیونیک مشتق شده از ویروس

## References:

1. Rabieian P, Zareei N, Abbaszadeh M, et al. Survey of Hematologic Markers of Influenza in Bushehr. Iran South Med J 2016; 19(5): 888-94. (Persian)
2. Paget J, Spreeuwenberg P, Charu V, et al. Global Mortality Associated With Seasonal Influenza Epidemics: New Burden Estimates And Predictors From The Glamor Project. J Glob Health 2019; 9(2): 020421.
3. Kreijtz JH, Fouchier RA, Rimmelzwaan GF. Immune Responses To Influenza Virus Infection. Virus Res 2011; 162(1-2): 19-30.
4. Müllbacher A, Ada G, Tha Hla R. Gamma-Irradiated Influenza A Virus Can Prime For A Cross-Reactive And Cross-Protective Immune Response Against Influenza A Viruses. Immunol Cell Biol 1988; 66(2): 153-7.
5. Babb R, Chan J, Khairat JE, et al. Gamma-Irradiated Influenza A Virus Provides Adjuvant

- Activity To A Co-Administered Poorly Immunogenic SFV Vaccine In Mice. *Front Immunol* 2014; 5: 267.
6. Furuya Y, Regner M, Lobigs M, et al. Effect Of Inactivation Method On The Cross-Protective Immunity Induced By Whole 'Killed' influenza A Viruses And Commercial Vaccine Preparations. *J Gen Virol* 2010; 91(6): 1450-60.
  7. Wilschut J, Mcelhaney J, Palache A. *Rapid Reference Influenza*. 2<sup>nd</sup> ed. London: Elsevier Health Sciences, 2006.
  8. Babar MM, Sadaf Zaidi N, Kazi AG, et al. Virosomes-Hybrid Drug Delivery Systems. *J Antivir Antiretrovir* 2013; 5(7): 166-72.
  9. Sercombe L, Veerati T, Moheimani F, et al. Advances And Challenges Of Liposome Assisted Drug Delivery. *Front Pharmacol* 2015; 6: 286.
  10. Jennings GT, Bachmann MF. The Coming Of Age Of Virus-Like Particle Vaccines. *Biol Chem* 2008; 389(5): 521-36.
  11. Kalra N, Dhanya V, Saini V, et al. Virosomes: As A Drug Delivery Carrier. *Am J Adv Drug Deliv* 2013; 1(1): 29-35.
  12. Mischler R, Metcalfe IC. Inflexal® V a Trivalent Virosome Subunit Influenza Vaccine: Production. *Vaccine* 2002; 20(Suppl 5): B17-23.
  13. Moser C, Amacker M, Kammer AR, et al. Influenza Virosomes As A Combined Vaccine Carrier And Adjuvant System For Prophylactic And Therapeutic Immunizations. *Expert Rev Vaccines* 2007; 6(5): 711-21.
  14. Cusi MG. Applications Of Influenza Virosomes As A Delivery System. *Hum Vaccin* 2006; 2(1): 1-7.
  15. Huckriede A, Bungener L, Stegmann T, et al. The Virosome Concept For Influenza Vaccines. *Vaccine* 2005; 23(Suppl 1): S26-38.
  16. Cryz SJ, Glück R. Immunopotentiating Reconstituted Influenza Virosomes As A Novel Antigen Delivery System. *Dev Biol Stand* 1998; 92: 219-23.
  17. González-Jara P, Fraile A, Canto T, et al. The Multiplicity Of Infection Of A Plant Virus Varies During Colonization Of Its Eukaryotic Host. *J Virol* 2009; 83(15): 7487-94.
  18. Wickramasinghe S, Kalbfuss B, Zimmermann A, et al. Tangential Flow Microfiltration And Ultrafiltration For Human Influenza A Virus Concentration And Purification. *Biotechnol Bioeng* 2005; 92(2): 199-208.
  19. Kalbfuss B, Genzel Y, Wolff M, et al. Harvesting And Concentration Of Human Influenza A Virus Produced In Serum-Free Mammalian Cell Culture For The Production Of Vaccines. *Biotechnol Bioeng* 2007; 97(1): 73-85.
  20. Killian ML. Hemagglutination Assay For Influenza Virus. In: Spackman E, editors. *New York: Humana Press-Animal Influenza Virus*, 2014, 3-9.
  21. De Jonge J, Leenhouts JM, Holtrop M, et al. Cellular Gene Transfer Mediated By Influenza Virosomes With Encapsulated Plasmid DNA. *Biochem J* 2007; 405(1): 41-9.
  22. Lowry OH, Rosebrough NJ, Farr AL, et al. Protein Measurement With The Folin Phenol Reagent. *J Biol Chem* 1951; 193(1): 265-75.
  23. Peterson GL. A Simplification Of The Protein Assay Method Of Lowry Et Al. Which Is More Generally Applicable. *Anal Biochem* 1977; 83(2): 346-56.
  24. Mosmann T. Rapid Colorimetric Assay For Cellular Growth And Survival: Application To Proliferation And Cytotoxicity Assays. *J Immunol Methods* 1983; 65(1-2): 55-63.
  25. Laemmli U. Most Commonly Used Discontinuous Buffer System For SDS Electrophoresis. *Nature* 1970; 227: 680-6.
  26. Beg S, Samad A, Nazish I, et al. Colloidal Drug Delivery Systems In Vaccine Delivery. *Curr Drug Targets* 2013; 14(1): 123-37.
  27. Schwendener RA. Liposomes As Vaccine Delivery Systems: A Review Of The Recent Advances. *Ther Adv Vaccines* 2014; 2(6): 159-82.
  28. Paternostre M, Viard M, Meyer O, et al. Solubilization And Reconstitution Of Vesicular Stomatitis Virus Envelope Using Octylglucoside. *Biophys J* 1997; 72(4): 1683-94.

29. Paternostre MT, Lowy RJ, Blumenthal R. pH-Dependent Fusion Of Reconstituted Vesicular Stomatitis Virus Envelopes With Vero Cells Measurement By Dequenching Of Fluorescence. FEBS Lett 1989; 243(2): 251-8.
30. Mohammadzadeh Y, Gholami S, Rasouli N, et al. Introduction Of Cationic Virosome Derived From Vesicular Stomatitis Virus As A Novel Gene Delivery System For sf9 Cells. J Liposome Res 2017; 27(2): 83-9.

Original Article

# Design, Production, and Evaluation of Virosomes from H1N1 Influenza Virus

A. Alishahi (PhD Candidate)<sup>1\*</sup>, M. Zargar (PhD)<sup>1\*\*</sup>, A. Ghaemi (PhD)<sup>2\*\*</sup>,  
F. Fotouhi (PhD)<sup>2</sup>, MR. Zolfaghari (PhD)<sup>1</sup>

<sup>1</sup> Department of Microbiology, School of Basic Science, Qom Branch, Islamic Azad University, Qom, Iran

<sup>2</sup> Department of Influenza and other Respiratory Viruses, Pasteur Institute of Iran, Tehran, Iran

(Received 10 Mar, 2020

Accepted 7 Jul, 2020)

## Abstract

**Background:** The last two decades witnessed the spread of the first generation of influenza viruses. Influenza virosomes are promising tools in vaccine and immunotherapy programs because of their applications in various medical fields. The aim of the present study was to construct cationic virosomes derived from influenza virus using dialyzable detergent (DCPC) and cationic lipid (DOTAP) *in vitro*.

**Materials and Methods:** Influenza A / Puerto Rico / 34.8 (H1N1) strain was propagated in MDCK cell line. The influenza virus envelope was dissolved using DCPC as a dialyzable detergent, and finally it was removed by dialysis and the cationic virosome was synthesized through adding cationic lipid (DOTAP). Cytotoxicity and presence of HA and NA proteins were evaluated by cell viability assay (MTT assay) and sodium dodecyl sulfate polyacrylamide gel electrophoresis (SDS-PAGE), respectively. Also, macroscopic and morphology studies of virosomes were performed by transmission electron microscopy (TEM).

**Results:** The final concentration of virosomes was 1.5 mg/ml. The presence of HA and NA proteins was confirmed by SDS-PAGE. Cell survival was significantly decreased after 48 hours of treatment with different concentrations of cationic virosomes ( $P < 0.05$ ).

**Conclusion:** The use of a detergent (DCPC) and also a cationic lipid (DOTAP) is an effective procedure for reconstruction of influenza virus envelope without any alteration in surface glycoproteins (HA, NA). The method used in the present study for producing influenza virosome will be a promising candidate for developing influenza vaccines.

**Keywords:** Virosome, Influenza Virus, DCPC, Cationic lipid, Cell Culture

©Iran South Med J. All right reserved

Cite this article as: Alishahi A, Zargar M, Ghaemi A, Fotouhi F, Zolfaghari MR. Design, Production, and Evaluation of Virosomes from H1N1 Influenza Virus. Iran South Med J 2020; 23(5): 442-454

Copyright © 2020, Alishahi et al. This is an open-access article distributed under the terms of the Creative Commons Attribution-noncommercial 4.0 International License which permits copy and redistribute the material just in noncommercial usages, provided the original work is properly cited.

**\*\*Address of correspondings:** Mohsen Zargar; Department of Microbiology, School of Basic Science, Qom Branch, Islamic Azad University, Qom, Iran.

Amir Ghaemi; Department of Influenza and other Respiratory Viruses, Pasteur Institute of Iran, Tehran, Iran.

Email: zargar@qom-iau.ac.ir, \*\*ORCID: 0000-0002-3108-5655

Email: a\_ghaem@pasteur.ac.ir, \*\*ORCID: 0000-0001-7793-2920

\*ORCID: 0000-0002-7127-4098

Website: <http://bpums.ac.ir>

Journal Address: <http://ismj.bpums.ac.ir>